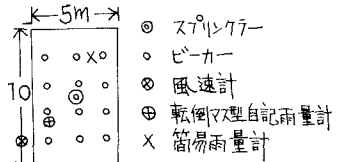


東京教育大学 農学部 正員 ○杉山博信
正員 野口正三

1. まえがき

大地に降った雨水が、流域形態を構成する因子（土壤、地形、植生等）によって、どんな影響をうけながら山地斜面を流下するのかを究明するために、流域形態を单一化した小試験区を設営し散水実験を試行した。本報では、雨水流の追跡に kinematic wave 理論を適用した。



2. 実験方法

Fig. 1 の様に、巾 5m、長さ 10m (50m²)、地形：灘 7% の小試験区を設営し、下端には表面流出水を集水する槽を設置し、集水量を三角ゼキの水位を自記させて測定した。また、浸透量を抑制する目的で地表面下 50cm のところにビニールシートを敷いた。スプリンクラー（庭園用の Rain Jet）を立体的に三基、試験区の中央に設置し、散水量は試験区内に設置した転倒マス型自記雨量計で測定した。さらに、散水分布状態を観測するため試験区内にビーカー 12 個を配置し、また、風速観測のために下端側面に鉛垂線を立て、地表面から 0.5m 間隔に 5 個所に Anemometer をつけて風速計を設置した。

Fig. 1.

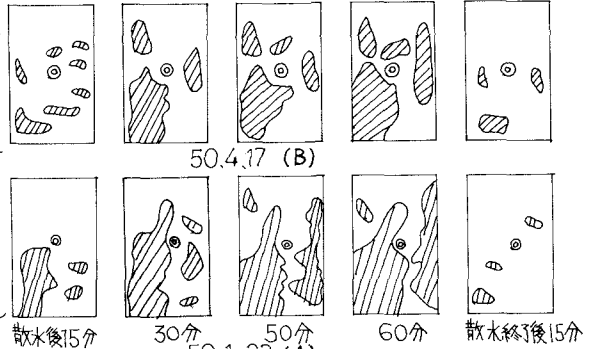


Fig. 2. たん水状況

Table 1. 散水実験一覧表

Date	散水時間 [min]	散水強度 [mm/min]	初期出発時 時間	最終損失量 [mm]	有効降雨量 [mm]	N	K	備考
49. 10.31	55	56.2	5	14.0	42.2	1.15	2.409	30日, 100mm
11. 14	60	57.5	4	17.0	40.5	1.24	2.528	10日前, 0.0mm
11. 28	55	73.0	4	24.0	49.0	1.56	2.898	10日前, 0.0mm
12. 5	80	60.8	5	11.5	49.3	1.41	2.735	2日, 5.0mm
12. 24	70	80.6	5	29.0	51.6	1.72	3.075	24日前, 小雨
50. 1. 23	60	60.0	6	6.0	54.0	1.50	2.836	22日, 25.0mm
4. 17	60	79.0	6	39.0	40.0	1.50	2.830	13日, 山雨
4. 28	60	58.5	6	15.0	43.5	1.44	2.764	27日, 午後, 小雨
5. 21	55	52.9	7	20.3	32.6	1.07	2.318	17日, 24.0mm
5. 30	60	68.0	7	30.1	37.9	0.88	2.051	27日, 5.0mm
6. 13	60	67.5	4	16.2	51.3	1.77	3.126	12日, 小雨

散水開始後のようにたん水や水せきが出現し拡大していくのがをスイッチしたもののが Fig. 2 である。A と B は散水開始前の被覆状態と先行降雨状態が異なる状況でのたん水状況を図示したものである。A は試験区全面が枯葉堆積層でおおわれ前日に総雨量 25.0mm の降雨があり、B は試験区の末端部から中央部にかけて雑草が繁茂し始め、4 日間の無降雨が続いたときのものである。A と B を比較すると、流出強度の定常時や散水終了後のたん水面積の状況には、余り大きな変化はみられないが、散水開始後の A のたん水面積拡大速度が B よりもはやく、最終損失量にも大きな差異がある。一般的には、散水開始後 4 分～7 分程度で流出が始まり、水せきはしきものが各所に出現していく。15 分～20 分経過すると、流出強度はほぼ定常状態となり、損失量もほぼ一定値に近づく。時間の経過とともに、たん水面積は拡大し水せきもはっきりし、地表面は水没をせりぞりと含む飽和状態となる。散水終了後 5 分～10 分くらいは（被覆状況により異なるが）ハイドログラフの下降部は急激ない減状態を示すが、その後のない減は緩となり、上流端附近のくぼ地たん水は消滅する。

4. 考察

山腹斜面に一様に表面流が発生していなければ、斜面流の運動及び連続方程式は次式で表現される。

$$h = k g^p \quad \text{--- ①}, \quad \frac{\partial h}{\partial t} + \frac{\partial h}{\partial x} = \alpha k_e \quad \text{--- ②}$$

ここで、 h : 水深、 Q : 単位巾流量、 x : 距離、
 t : 時間、 r_a : 有効降雨強度、 α : 単位変換定数、
 P と K : 定数。表面流の流れに対する Manning 則を
 認めるならば $K = (N/\sin\theta)^P$ 、 $P = 3/5$ 、 $N = t$ 、 N :
 等価粗度、 θ : 斜面傾斜角。

雨水到達時間は①と②の特性方程式の展開により
 次式で表現される。

$$t = K l^P / (\alpha r_a)^{1-P} \quad \text{--- ③} \quad \text{ここで、} t: \text{雨水到達時間}, r_a: \text{有効降雨強度}, K \text{ と } P: \text{定数}$$

さらに、若干の計算により斜面の等価粗度 N は次式
 で表現される。

$$N = (\sqrt{\sin\theta}/\alpha) \{(\alpha r_a)^{1-P} t\}^{1/P} \quad \text{--- ④}$$

ここで、 l : 斜面長

被覆状態が異なる2例、49年12月24日（枯葉堆積層の
 厚い時期）と50年5月30日（植生繁茂の激しい時期）の
 散水実験結果をモデル洪水波形に選定して、雨水流出過程を追跡した。

斜面がほぼ飽和状態にあるとし、有効降雨強度を
 単純に $r_a = r - f$ (f : 最終損失量)、また、雨水
 到達時間は、散水開始時から流出強度が定常になる
 までの時間と考え、各々のモデル洪水波形から K 値を算出し、
 有効降雨強度 r_a と雨水到達時間 t との関係を検討した。

Fig.3 の実線は、モデル洪水波形の被覆状態のもとで有効降雨強度
 を変化させたときの理論値で、両対数紙上で直線を示す $t \propto r_a^{-0.39}$
 の関係が成立する。黒丸は、モデル以外の実測値であり、被覆
 状態が異なるためにバラつきがある。

Fig.4 は、モデルの雨水到達時間の実測値を用いて④式から N
 値を算出し、その N 値のもとで有効降雨強度を変化させたとき
 の流出ハイドログラフである。実線は $N=1.72$ (49年12月24日)、破線
 は $N=0.88$ (50年5月30日)における流出ハイドログラフであり、両
 者を比較してみると、雨水到達時間やハイドログラフの上昇状
 況および減衰状況に多少の変化はみられるが、むしろ、有効降
 雨強度の変化により流出強度が大幅に左右されている。つまり、
 有効降雨強度の評価が大切と思われる。Fig.5 は、有効降雨強度
 をパラメータとして、 N を順次変化させた場合のもととの関
 係を図示したもので $t \propto N^{0.45}$ の関係が成立している。

5. あとがき　　单一なモデルにより雨水流を追跡した
 ザ、今後は実流域での斜面流についても、貯留因子を考慮しながら
 検討を続けていくと思われる。最後に、実験の援助を惜しまずか
 た研究室の皆さんに感謝します。

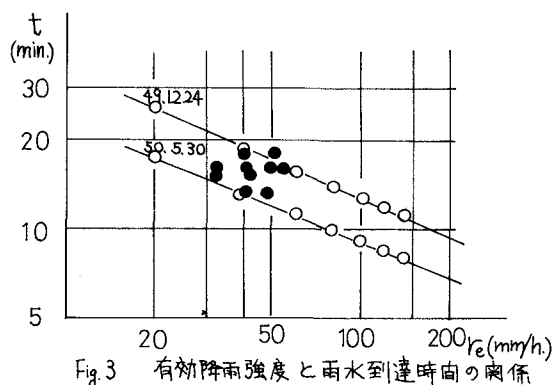


Fig. 3 有効降雨強度と雨水到達時間の関係

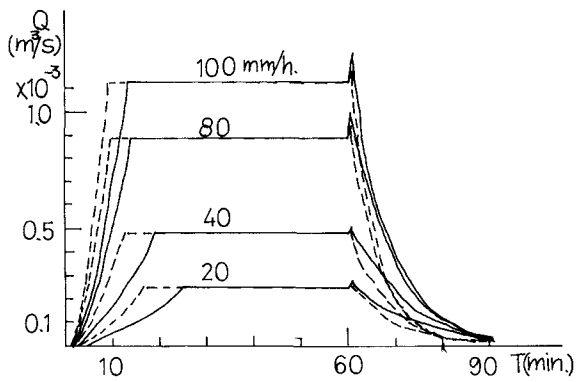


Fig. 4 流出ハイドログラフ

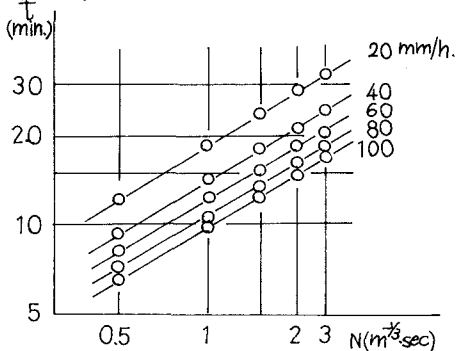


Fig. 5. t と N の関係

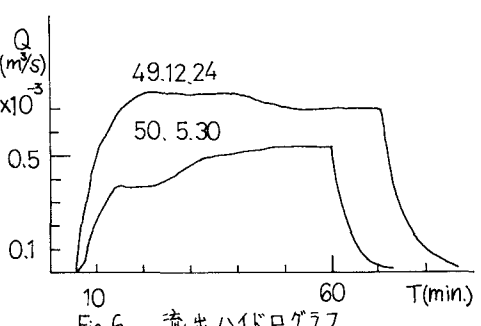


Fig. 6. 流出ハイドログラフ